

· 综 合 ·



## [技术讲座] 斜坡堤次护面块体的稳定性研究 II

李贺青, 柳玉良, 夏运强

(海军工程设计研究院, 北京 100070)

**摘要:** 通过两个断面的模型试验, 进一步研究次护面块体的稳定性。试验断面1次护面块体位于静水面下1.5倍波高 $H_{13\%}$ 的坡面, 断面2次护面块体位于静水面下1.5倍波高 $H_{13\%}$ 的肩台上。试验波浪范围分别为 $\bar{H}/d=0.11\sim 0.14$ 和 $\bar{H}/d=0.09\sim 0.11$ 。试验发现, 肩台上护面块体的稳定性较坡面上护面块体的稳定性差。从试验结果得出以下结论: 1) 位于静水面下1.5倍波高处及以下坡面的护面块体, 其稳定重力为主护面块体稳定重力的1/3; 2) 位于静水面下1.5倍波高肩台处的护面块体, 其稳定重力为主护面块体稳定重力的0.9倍。

**关键词:** 斜坡式防波堤; 护面块体稳定性; 安全度; 次护面块体

中图分类号: U 653.4

文献标志码: A

文章编号: 1002-4972(2014)05-0018-03

### Stability of minor armor blocks for rubble mound breakwater II

LI He-qing, LIU Yu-liang, XIA Yun-qiang

(The Navy Engineering Design and Research Institute, Beijing 100070, China)

**Abstract:** The stability of minor armor blocks are studied further based on two types of model tests. The minor armor blocks are positioned on the slope 1.5 times  $H_{13\%}$  under the MWL in test 1, and on the berm 1.5 times  $H_{13\%}$  under the MWL in test 2, with  $\bar{H}/d=0.11\sim 0.14$  and  $\bar{H}/d=0.09\sim 0.11$  respectively. It is found that the stability of armor blocks on the slope is better than that on the berm. Following conclusions are drawn from the tests: 1) The stable weight of minor armor blocks on the slope 1.5 times  $H_{13\%}$  under the MWL is 1/3 of that of main armor blocks; 2) The stable weight of minor armor blocks on the berm 1.5 times  $H_{13\%}$  under the MWL is 0.9 of that of main armor blocks.

**Key words:** rubble mound breakwater; stability of armor blocks; safety factor; minor armor block

#### 1 上文回顾

原防波堤设计规范<sup>[4]</sup>规定, 外坡在设计低水位以下1~1.5倍设计波高之间的护面块体重力, 取计算水位上下1倍波高间护面块体计算重力的1/5。在上文“斜坡堤次护面块体的稳定性研究 I”<sup>[1]</sup>中介绍了两个断面的模型试验, 其次护面块体分别位于静水面下1倍和1.5倍波高 $H_{13\%}$ 处, 重力按上述规定确定。利用护面块体安全度的概念<sup>[2]</sup>, 得到次护面块体的安全度分别为2.43和2.46以上, 都大于2.2。试验说明, 在 $\bar{H}/d\geq 0.3$ 时上述规定是正确的, 但在 $\bar{H}/d=0.16$ 时失效,

说明这一规定有其适用范围。本文通过断面模型试验进一步研究其适用性。上文为叙述方便使用了主护面块体和次护面块体的概念, 本文沿用。

#### 2 试验方法

试验在海军工程设计研究院港工实验室进行, 采用不规则波浪。试验水槽长81 m, 宽1.4 m, 高2.6 m。水槽一端安装低惯量直流电机及滚珠丝杠系统驱动的不规则造波机, 另一端设消能设施。水槽沿宽度方向分成两格, 分别为0.8 m和0.6 m, 宽度0.6 m的窄水槽部分放置模型, 另一侧用于

收稿日期: 2013-09-30

作者简介: 李贺青(1963—), 男, 博士, 高级工程师, 主要从事港口工程设计和研究。

消能, 以减少造波机推板二次反射的影响。不规则波造波机可产生波高 0.03 ~ 0.5 m, 周期 0.5 ~ 5.0 s 的不规则波。

根据试验水槽和造波条件, 分别按 2 个断面进行试验 (图 1), 波浪要素见表 1。断面 1 肩台位于静水位以下 1.0 倍波高  $H_{13\%}$  处, 肩台处护面块体采用与上部护面相同的较大的 590 g 扭王字块, 并向下延伸了 2 排, 与 32 g 扭王字块体相接, 波高  $H_{13\%}$  范围 0.130 ~ 0.177 m, 平均周期 1.5 ~ 2.5 s,  $\bar{H}/d = 0.11 \sim 0.14$ ; 断面 2 肩台位于静水位以下 1.5 倍波高  $H_{13\%}$  处, 肩台及以下部分采用 48 g 扭王字块体护面, 波高  $H_{13\%}$  范围 0.120 ~ 0.156 m, 平均周期 1.5 ~ 2.5 s,  $\bar{H}/d = 0.09 \sim 0.11$ 。研究对象分别为断面 1 的 32 g 护面块体和断面 2 的 48 g 护面块体。每组次重复进行试验, 每次试验前重新摆放块体。

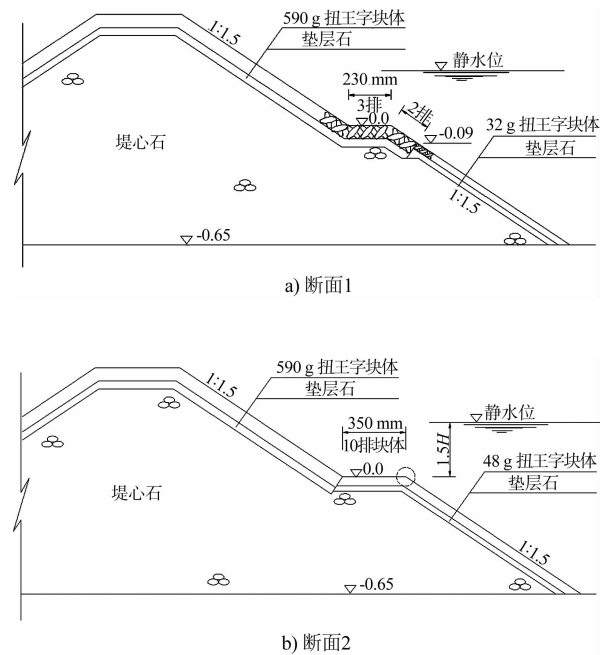


图 1 试验断面

表 1 试验波浪要素

| 断面   | 工况   | $d/m$ | $\bar{T}/s$ | $H_{5\%}/m$ | $H_{13\%}/m$ | $\bar{H}/m$ | $\bar{H}/d$ | $\delta$ |
|------|------|-------|-------------|-------------|--------------|-------------|-------------|----------|
| 断面 1 | 1-11 | 0.780 | 1.54        | 0.154       | 0.130        | 0.083       | 0.11        | 1/13     |
|      | 1-12 |       | 2.08        | 0.157       | 0.133        | 0.085       | 0.11        | 1/23     |
|      | 1-13 |       | 2.51        | 0.159       | 0.134        | 0.086       | 0.11        | 1/33     |
|      | 1-21 | 0.800 | 1.62        | 0.177       | 0.149        | 0.096       | 0.12        | 1/13     |
|      | 1-22 |       | 2.08        | 0.175       | 0.148        | 0.095       | 0.12        | 1/21     |
|      | 1-23 |       | 2.48        | 0.177       | 0.149        | 0.096       | 0.12        | 1.30     |
|      | 1-31 | 0.825 | 1.64        | 0.201       | 0.170        | 0.110       | 0.13        | 1/12     |
|      | 1-32 |       | 2.09        | 0.209       | 0.177        | 0.115       | 0.14        | 1/18     |
|      | 1-33 |       | 2.46        | 0.208       | 0.176        | 0.114       | 0.14        | 1/26     |
| 断面 2 | 2-11 | 0.830 | 1.58        | 0.145       | 0.122        | 0.078       | 0.09        | 1/15     |
|      | 2-12 |       | 1.99        | 0.146       | 0.123        | 0.079       | 0.09        | 1/25     |
|      | 2-13 |       | 2.54        | 0.143       | 0.120        | 0.077       | 0.09        | 1/40     |
|      | 2-21 | 0.845 | 1.48        | 0.154       | 0.130        | 0.083       | 0.10        | 1/13     |
|      | 2-22 |       | 2.07        | 0.154       | 0.130        | 0.083       | 0.10        | 1/25     |
|      | 2-23 |       | 2.51        | 0.154       | 0.129        | 0.083       | 0.10        | 1/37     |
|      | 2-31 | 0.875 | 1.66        | 0.185       | 0.156        | 0.100       | 0.11        | 1/14     |
|      | 2-32 |       | 2.04        | 0.177       | 0.149        | 0.096       | 0.11        | 1/22     |
|      | 2-33 |       | 2.46        | 0.181       | 0.153        | 0.098       | 0.11        | 1/31     |

### 3 试验结果分析

#### 3.1 断面 1

32 g 扭王字块体位于坡面上, 块体间相互挤靠, 嵌固较好。个别块体失稳后, 经波浪继续作用, 相邻块体会向空缺处填补, 自动修复护面而

保持稳定状态。当块体重力不足以抗御波浪作用时, 则会引起坡面的破坏。发生失稳的位置主要是高程 -0.18 m 以上范围, 波浪影响显著的深度达到静水位以下约 2 倍有效波高深度处。观测结果见表 2, 破坏情况见图 2。

表2 断面1 护面块体失稳个数统计

| 组次   | 1 | 2 | 3 | 4 | 5 | 6 | 7 | 8 | 9 | 10 | $\bar{n}/\%$ |
|------|---|---|---|---|---|---|---|---|---|----|--------------|
| 1-11 | 0 | 0 | 0 | 0 |   |   |   |   |   |    | 0            |
| 1-12 | 0 | 0 | 0 | 0 |   |   | 0 |   |   |    | 0            |
| 1-13 | 0 | 0 | 0 | 0 |   |   | 0 |   |   |    | 0            |
| 1-21 | 0 | 0 | 0 | 0 | 0 | 0 | 0 | 0 | 0 | 0  | 0            |
| 1-22 | 0 | 0 | 0 | 0 | 0 | 0 | 0 | 0 | 0 | 0  | 0            |
| 1-23 | 0 | 1 | 1 | 0 | 0 | 3 | 2 | 0 | 0 | 1  | 0.13         |
| 1-31 |   |   |   |   | 0 | 0 | 0 | 1 | 0 | 0  | 0.03         |
| 1-32 |   |   |   |   | 0 | 2 | 0 | 1 | 0 | 0  | 0.80         |
| 1-33 |   |   |   |   | 0 | S | 8 | 4 | 1 | 0  | 0.42         |

注：S代表大面积破坏。



图2 断面1 扭王字块体失稳情况

因  $\bar{H}/d < 0.3$ ，分析块体稳定性时采用  $H_{5\%}$  [3]。从表1和表2可以看出，工况1-22试验波高  $H_{5\%} = 0.175$  m时块体稳定，工况1-23波高  $H_{5\%} = 0.177$  m时块体出现失稳现象。随波高加大，失稳概率相应增大，且破坏程度加剧。因此可以将  $H_{5\%} = 0.175$  m作为临界稳定波高。按安全度  $K_N = 2.2$ ，则由文献[2]式(3)得稳定波高  $H_{5\%} = H_c / \sqrt[3]{K_N} = 0.175 / \sqrt[3]{2.2} = 0.135$  m。依此，由赫德森公式算得主护面块体稳定重力0.945 N，32 g次护面块体的重力为其1/3。

工况1-22及以下各工况的次护面块体位于水面下1.5倍  $H_{13\%}$  处以下的坡面上。试验结果说明，位于水面下  $1.5H_{13\%}$  处坡面的护面块体，宜采用主护面块体1/3的重力。这个结论不同于原防波堤规范1/5的规定。

### 3.2 断面2

试验中观察到，肩台的坡肩处(图1b)圆圈

处)最为薄弱。水平面与斜坡面连接处块体间嵌固作用较弱，块体发生失稳破坏首先从这一位置开始(图3)。块体一旦出现失稳，易导致块体大面积破坏。因为肩台平面及坡肩上块体的受力状态与坡面上不同，相互之间连接比较松散，个别块体失稳后，没有自我恢复能力。



图3 断面2 肩台坡肩处破坏情况

从表3和表1看到，48 g扭王字块体在  $H_{5\%} = 0.145$  m的波浪作用下是稳定的，波高增大至  $H_{5\%} = 0.146$  m时，在7次试验中，有3次块体失稳，4次稳定；波高继续增大，几乎每次试验均出现块体失稳。48 g扭王字块体的临界稳定波高可取  $H_{5\%} = 0.145$  m。按安全度  $K_N = 2.2$ ，得到稳定波高  $H_{5\%} = 0.111$  m，主护面块体稳定重力0.537 N。48 g次护面块体重相当于主护面块体重力的0.9倍。试验说明，位于水位下1.5倍  $H_{13\%}$  处的肩台宜采用主护面块体的重力，而不宜改用小重力块体。

表3 断面2 护面块体失稳个数统计

| 组次   | 1 | 2 | 3 | 4 | 5 | 6 | 7 |
|------|---|---|---|---|---|---|---|
| 2-11 | 0 | 0 | 0 | 0 | 0 | 0 | 0 |
| 2-12 | 1 | S | 0 | 0 | 0 | 4 | 0 |
| 2-13 | 0 |   | 0 | 0 | 0 |   | 0 |
| 2-21 | 0 |   | 0 | 0 | 0 | 0 | 0 |
| 2-22 | S |   | 1 | S | 1 | S | 1 |
| 2-23 |   |   | 0 | 0 |   | 0 | 0 |
| 2-31 |   |   | 0 | 0 | 0 |   | 0 |
| 2-32 |   |   | S |   |   |   |   |
| 2-33 |   |   |   | 3 | 4 |   | S |

注：S代表大面积破坏。

(下转第25页)